

1.- DATOS DE OBRA.....	2
1.1.- Normas consideradas.....	2
1.2.- Estados límite.....	2
1.2.1.- Situaciones de proyecto.....	2
1.2.2.- Combinaciones.....	3
1.3.- Resistencia al fuego.....	3
2.- ESTRUCTURA.....	4
2.1.- Geometría.....	4
2.1.1.- Nudos.....	4
2.1.2.- Barras.....	4
2.2.- Cargas.....	5
2.2.1.- Barras.....	5
2.3.- Resultados.....	6
2.3.1.- Nudos.....	6
2.3.2.- Barras.....	8



1.- DATOS DE OBRA

1.1.- Normas consideradas

Aceros laminados y armados: CTE DB SE-A

1.2.- Estados límite

E.L.U. de rotura. Acero laminado	CTE Cota de nieve: Altitud inferior o igual a 1000 m
Desplazamientos	Acciones características

1.2.1.- Situaciones de proyecto

Para las distintas situaciones de proyecto, las combinaciones de acciones se definirán de acuerdo con los siguientes criterios:

- Con coeficientes de combinación

$$\sum_{j \geq 1} \gamma_{Gj} G_{kj} + \gamma_{Q1} \Psi_{p1} Q_{k1} + \sum_{i > 1} \gamma_{Qi} \Psi_{ai} Q_{ki}$$

- Sin coeficientes de combinación

$$\sum_{j \geq 1} \gamma_{Gj} G_{kj} + \sum_{i \geq 1} \gamma_{Qi} Q_{ki}$$

- Donde:

G_k Acción permanente

Q_k Acción variable

γ_G Coeficiente parcial de seguridad de las acciones permanentes

$\gamma_{Q,1}$ Coeficiente parcial de seguridad de la acción variable principal

$\gamma_{Q,i}$ Coeficiente parcial de seguridad de las acciones variables de acompañamiento

$\Psi_{p,1}$ Coeficiente de combinación de la acción variable principal

$\Psi_{a,i}$ Coeficiente de combinación de las acciones variables de acompañamiento

Para cada situación de proyecto y estado límite los coeficientes a utilizar serán:

E.L.U. de rotura. Acero laminado: CTE DB SE-A

Persistente o transitoria				
	Coeficientes parciales de seguridad (γ)		Coeficientes de combinación (ψ)	
	Favorable	Desfavorable	Principal (ψ_p)	Acompañamiento (ψ_a)
Carga permanente (G)	0.800	1.350	-	-
Viento (Q)	0.000	1.500	1.000	0.600



Listados

Viga intermedia pórtico lateral A

Fecha: 10/06/15

Accidental de incendio				
	Coeficientes parciales de seguridad (γ)		Coeficientes de combinación (ψ)	
	Favorable	Desfavorable	Principal (ψ_p)	Acompañamiento (ψ_a)
Carga permanente (G)	1.000	1.000	-	-
Viento (Q)	0.000	1.000	0.500	0.000

Desplazamientos

Característica		
	Coeficientes parciales de seguridad (γ)	
	Favorable	Desfavorable
Carga permanente (G)	1.000	1.000
Viento (Q)	0.000	1.000

1.2.2.- Combinaciones

▪ Nombres de las hipótesis

G Carga permanente

V(0°) H1 Viento a 0°

V(180°) H2 Viento a 180°

▪ E.L.U. de rotura. Acero laminado

1. Coeficientes para situaciones persistentes o transitorias

Comb.	G	V(0°) H1	V(180°) H2
1	0.800		
2	1.350		
3	0.800	1.500	
4	1.350	1.500	
5	0.800		1.500
6	1.350		1.500

2. Coeficientes para situaciones accidentales de incendio

Comb.	G	V(0°) H1	V(180°) H2
1	1.000		
2	1.000	0.500	
3	1.000		0.500

▪ Desplazamientos

Comb.	G	V(0°) H1	V(180°) H2
1	1.000		
2	1.000	1.000	
3	1.000		1.000

1.3.- Resistencia al fuego

Perfiles de acero

Norma: CTE DB SI. Anejo D: Resistencia al fuego de los elementos de acero.



Listados

Viga intermedia pórtico lateral A

Fecha: 10/06/15

Resistencia requerida: R 90

Revestimiento de protección: Pintura intumescente

Densidad: 0.0 kg/m³

Conductividad: 0.01 W/(m·K)

Calor específico: 0.00 J/(kg·K)

El espesor mínimo necesario de revestimiento para cada barra se indica en la tabla de comprobación de resistencia.

2.- ESTRUCTURA

2.1.- Geometría

2.1.1.- Nudos

Referencias:

Δ_x , Δ_y , Δ_z : Desplazamientos prescritos en ejes globales.

θ_x , θ_y , θ_z : Giros prescritos en ejes globales.

Cada grado de libertad se marca con 'X' si está coaccionado y, en caso contrario, con '-'.

Nudos										
Referencia	Coordenadas			Vinculación exterior						Vinculación interior
	X (m)	Y (m)	Z (m)	Δ_x	Δ_y	Δ_z	θ_x	θ_y	θ_z	
N1	0.000	0.000	0.000	X	X	X	-	-	-	Empotrado
N2	0.000	5.000	0.000	X	X	X	-	-	-	Empotrado

2.1.2.- Barras

2.1.2.1.- Materiales utilizados

Materiales utilizados							
Material		E (MPa)	ν	G (MPa)	f_y (MPa)	α_t (m/m°C)	γ (kN/m ³)
Tipo	Designación						
Acero laminado	S275	210000.00	0.300	81000.00	275.00	0.000012	77.01
Notación: E: Módulo de elasticidad n: Módulo de Poisson G: Módulo de cortadura f_y : Límite elástico α_t : Coeficiente de dilatación g: Peso específico							

2.1.2.2.- Descripción

Descripción									
Material		Barra (Ni/Nf)	Pieza (Ni/Nf)	Perfil(Serie)	Longitud (m)	β_{xy}	β_{xz}	Lb _{Sup.} (m)	Lb _{Inf.} (m)
Tipo	Designación								
Acero laminado	S275	N1/N2	N1/N2	HE 180 B (HEB)	5.000	0.50	0.50	-	-
Notación: Ni: Nudo inicial Nf: Nudo final b_{xy} : Coeficiente de pandeo en el plano 'XY' b_{xz} : Coeficiente de pandeo en el plano 'XZ' Lb _{Sup.} : Separación entre arriostramientos del ala superior Lb _{Inf.} : Separación entre arriostramientos del ala inferior									



Listados

Viga intermedia pórtico lateral A

Fecha: 10/06/15

2.1.2.3.- Características mecánicas

Tipos de pieza	
Ref.	Piezas
1	N1/N2

Características mecánicas									
Material		Ref.	Descripción	A (cm ²)	Avy (cm ²)	Avz (cm ²)	Iyy (cm ⁴)	Izz (cm ⁴)	It (cm ⁴)
Tipo	Designación								
Acero laminado	S275	1	HE 180 B , (HEB)	65.30	37.80	11.63	3831.00	1363.00	42.16
Notación: Ref.: Referencia A: Área de la sección transversal Avy: Área de cortante de la sección según el eje local 'Y' Avz: Área de cortante de la sección según el eje local 'Z' Iyy: Inercia de la sección alrededor del eje local 'Y' Izz: Inercia de la sección alrededor del eje local 'Z' It: Inercia a torsión Las características mecánicas de las piezas corresponden a la sección en el punto medio de las mismas.									

2.1.2.4.- Tabla de medición

Tabla de medición						
Material		Pieza (Ni/Nf)	Perfil(Serie)	Longitud (m)	Volumen (m ³)	Peso (kg)
Tipo	Designación					
Acero laminado	S275	N1/N2	HE 180 B (HEB)	5.000	0.033	256.30
Notación: Ni: Nudo inicial Nf: Nudo final						

2.1.2.5.- Resumen de medición

Resumen de medición												
Material		Serie	Perfil	Longitud			Volumen			Peso		
Tipo	Designación			Perfil (m)	Serie (m)	Material (m)	Perfil (m ³)	Serie (m ³)	Material (m ³)	Perfil (kg)	Serie (kg)	Material (kg)
Acero laminado	S275	HEB	HE 180 B	5.000	5.000	5.000	0.033	0.033	0.033	256.30	256.30	256.30

2.1.2.6.- Medición de superficies

Acero laminado: Medición de las superficies a pintar				
Serie	Perfil	Superficie unitaria (m ² /m)	Longitud (m)	Superficie (m ²)
HEB	HE 180 B	1.063	5.000	5.315
Total				5.315

2.2.- Cargas

2.2.1.- Barras

Referencias:

'P1', 'P2':

- Cargas puntuales, uniformes, en faja y momentos puntuales: 'P1' es el valor de la carga. 'P2' no se utiliza.
- Cargas trapezoidales: 'P1' es el valor de la carga en el punto donde comienza (L1) y 'P2' es el



Listados

Viga intermedia pórtico lateral A

Fecha: 10/06/15

valor de la carga en el punto donde termina (L2).

- Cargas triangulares: 'P1' es el valor máximo de la carga. 'P2' no se utiliza.
- Incrementos de temperatura: 'P1' y 'P2' son los valores de la temperatura en las caras exteriores o paramentos de la pieza. La orientación de la variación del incremento de temperatura sobre la sección transversal dependerá de la dirección seleccionada.

'L1', 'L2':

- Cargas y momentos puntuales: 'L1' es la distancia entre el nudo inicial de la barra y la posición donde se aplica la carga. 'L2' no se utiliza.
- Cargas trapezoidales, en faja, y triangulares: 'L1' es la distancia entre el nudo inicial de la barra y la posición donde comienza la carga, 'L2' es la distancia entre el nudo inicial de la barra y la posición donde termina la carga.

Unidades:

- Cargas puntuales: kN
- Momentos puntuales: kN·m.
- Cargas uniformes, en faja, triangulares y trapezoidales: kN/m.
- Incrementos de temperatura: °C.

Cargas en barras										
Barra	Hipótesis	Tipo	Valores		Posición		Dirección			
			P1	P2	L1 (m)	L2 (m)	Ejes	X	Y	Z
N1/N2	Carga permanente	Uniforme	0.503	-	-	-	Globales	0.000	0.000	-1.000
N1/N2	V(0°) H1	Uniforme	5.475	-	-	-	Globales	-1.000	0.000	0.000
N1/N2	V(180°) H2	Uniforme	2.400	-	-	-	Globales	1.000	0.000	0.000

2.3.- Resultados

2.3.1.- Nudos

2.3.1.1.- Desplazamientos

Referencias:

Dx, Dy, Dz: Desplazamientos de los nudos en ejes globales.

Gx, Gy, Gz: Giros de los nudos en ejes globales.

2.3.1.1.1.- Hipótesis

Desplazamientos de los nudos, por hipótesis							
Referencia	Descripción	Desplazamientos en ejes globales					
		Dx (mm)	Dy (mm)	Dz (mm)	Gx (mRad)	Gy (mRad)	Gz (mRad)
N1	Carga permanente	0.000	0.000	0.000	-0.326	0.000	0.000
	V(0°) H1	0.000	0.000	0.000	0.000	0.000	9.962
	V(180°) H2	0.000	0.000	0.000	0.000	0.000	-4.367
N2	Carga permanente	0.000	0.000	0.000	0.326	0.000	0.000
	V(0°) H1	0.000	0.000	0.000	0.000	0.000	-9.962
	V(180°) H2	0.000	0.000	0.000	0.000	0.000	4.367

2.3.1.1.2.- Combinaciones

Desplazamientos de los nudos, por combinación								
Referencia	Combinación		Desplazamientos en ejes globales					
	Tipo	Descripción	Dx (mm)	Dy (mm)	Dz (mm)	Gx (mRad)	Gy (mRad)	Gz (mRad)
N1	Desplazamientos	G	0.000	0.000	0.000	-0.326	0.000	0.000



Listados

Viga intermedia pórtico lateral A

Fecha: 10/06/15

Desplazamientos de los nudos, por combinación								
Referencia	Combinación		Desplazamientos en ejes globales					
	Tipo	Descripción	Dx (mm)	Dy (mm)	Dz (mm)	Gx (mRad)	Gy (mRad)	Gz (mRad)
N2	Desplazamientos	G+V(0°)H1	0.000	0.000	0.000	-0.326	0.000	9.962
		G+V(180°)H2	0.000	0.000	0.000	-0.326	0.000	-4.367
		G	0.000	0.000	0.000	0.326	0.000	0.000
		G+V(0°)H1	0.000	0.000	0.000	0.326	0.000	-9.962
		G+V(180°)H2	0.000	0.000	0.000	0.326	0.000	4.367

2.3.1.1.3.- Envoltentes

Envoltente de los desplazamientos en nudos								
Referencia	Combinación		Desplazamientos en ejes globales					
	Tipo	Descripción	Dx (mm)	Dy (mm)	Dz (mm)	Gx (mRad)	Gy (mRad)	Gz (mRad)
N1	Desplazamientos	Valor mínimo de la envoltente	0.000	0.000	0.000	-0.326	0.000	-4.367
		Valor máximo de la envoltente	0.000	0.000	0.000	-0.326	0.000	9.962
N2	Desplazamientos	Valor mínimo de la envoltente	0.000	0.000	0.000	0.326	0.000	-9.962
		Valor máximo de la envoltente	0.000	0.000	0.000	0.326	0.000	4.367

2.3.1.2.- Reacciones

Referencias:

Rx, Ry, Rz: Reacciones en nudos con desplazamientos coaccionados (fuerzas).

Mx, My, Mz: Reacciones en nudos con giros coaccionados (momentos).

2.3.1.2.1.- Hipótesis

Reacciones en los nudos, por hipótesis							
Referencia	Descripción	Reacciones en ejes globales					
		Rx (kN)	Ry (kN)	Rz (kN)	Mx (kN·m)	My (kN·m)	Mz (kN·m)
N1	Carga permanente	0.000	0.000	1.257	0.00	0.00	0.00
	V(0°) H1	13.688	0.000	0.000	0.00	0.00	0.00
	V(180°) H2	-6.000	0.000	0.000	0.00	0.00	0.00
N2	Carga permanente	0.000	0.000	1.257	0.00	0.00	0.00
	V(0°) H1	13.688	0.000	0.000	0.00	0.00	0.00
	V(180°) H2	-6.000	0.000	0.000	0.00	0.00	0.00

2.3.1.2.2.- Combinaciones

Reacciones en los nudos, por combinación								
Referencia	Combinación		Reacciones en ejes globales					
	Tipo	Descripción	Rx (kN)	Ry (kN)	Rz (kN)	Mx (kN·m)	My (kN·m)	Mz (kN·m)
N1	Hormigón en cimentaciones	G	0.000	0.000	1.257	0.00	0.00	0.00
		1.6·G	0.000	0.000	2.011	0.00	0.00	0.00
		G+1.6·V(0º)H1	21.900	0.000	1.257	0.00	0.00	0.00
		1.6·G+1.6·V(0º)H1	21.900	0.000	2.011	0.00	0.00	0.00
		G+1.6·V(180º)H2	-9.600	0.000	1.257	0.00	0.00	0.00
		1.6·G+1.6·V(180º)H2	-9.600	0.000	2.011	0.00	0.00	0.00
	Tensiones sobre el terreno	G	0.000	0.000	1.257	0.00	0.00	0.00
		G+V(0º)H1	13.688	0.000	1.257	0.00	0.00	0.00
		G+V(180º)H2	-6.000	0.000	1.257	0.00	0.00	0.00
	N2	Hormigón en cimentaciones	G	0.000	0.000	1.257	0.00	0.00



Listados

Viga intermedia pórtico lateral A

Fecha: 10/06/15

Reacciones en los nudos, por combinación								
Referencia	Combinación		Reacciones en ejes globales					
	Tipo	Descripción	Rx (kN)	Ry (kN)	Rz (kN)	Mx (kN·m)	My (kN·m)	Mz (kN·m)
		1.6·G	0.000	0.000	2.011	0.00	0.00	0.00
		G+1.6·V(0°)H1	21.900	0.000	1.257	0.00	0.00	0.00
		1.6·G+1.6·V(0°)H1	21.900	0.000	2.011	0.00	0.00	0.00
		G+1.6·V(180°)H2	-9.600	0.000	1.257	0.00	0.00	0.00
		1.6·G+1.6·V(180°)H2	-9.600	0.000	2.011	0.00	0.00	0.00
	Tensiones sobre el terreno	G	0.000	0.000	1.257	0.00	0.00	0.00
		G+V(0°)H1	13.688	0.000	1.257	0.00	0.00	0.00
		G+V(180°)H2	-6.000	0.000	1.257	0.00	0.00	0.00

Nota: Las combinaciones de hormigón indicadas son las mismas que se utilizan para comprobar el estado límite de equilibrio en la cimentación.

2.3.1.2.3.- Envoltentes

Envoltentes de las reacciones en nudos								
Referencia	Combinación		Reacciones en ejes globales					
	Tipo	Descripción	Rx (kN)	Ry (kN)	Rz (kN)	Mx (kN·m)	My (kN·m)	Mz (kN·m)
N1	Hormigón en cimentaciones	Valor mínimo de la envoltente	-9.600	0.000	1.257	0.00	0.00	0.00
		Valor máximo de la envoltente	21.900	0.000	2.011	0.00	0.00	0.00
	Tensiones sobre el terreno	Valor mínimo de la envoltente	-6.000	0.000	1.257	0.00	0.00	0.00
		Valor máximo de la envoltente	13.688	0.000	1.257	0.00	0.00	0.00
N2	Hormigón en cimentaciones	Valor mínimo de la envoltente	-9.600	0.000	1.257	0.00	0.00	0.00
		Valor máximo de la envoltente	21.900	0.000	2.011	0.00	0.00	0.00
	Tensiones sobre el terreno	Valor mínimo de la envoltente	-6.000	0.000	1.257	0.00	0.00	0.00
		Valor máximo de la envoltente	13.688	0.000	1.257	0.00	0.00	0.00

Nota: Las combinaciones de hormigón indicadas son las mismas que se utilizan para comprobar el estado límite de equilibrio en la cimentación.

2.3.2.- Barras

2.3.2.1.- Esfuerzos

Referencias:

N: Esfuerzo axial (kN)

Vy: Esfuerzo cortante según el eje local Y de la barra. (kN)

Vz: Esfuerzo cortante según el eje local Z de la barra. (kN)

Mt: Momento torsor (kN·m)

My: Momento flector en el plano 'XZ' (giro de la sección respecto al eje local 'Y' de la barra). (kN·m)

Mz: Momento flector en el plano 'XY' (giro de la sección respecto al eje local 'Z' de la barra). (kN·m)

2.3.2.1.1.- Hipótesis

Esfuerzos en barras, por hipótesis											
Barra	Hipótesis	Esfuerzo	Posiciones en la barra								
			0.000 m	0.625 m	1.250 m	1.875 m	2.500 m	3.125 m	3.750 m	4.375 m	5.000 m
N1/N2	Carga permanente	N	0.000	0.000	0.000	0.000	0.000	0.000	0.000	0.000	0.000
		Vy	0.000	0.000	0.000	0.000	0.000	0.000	0.000	0.000	0.000
		Vz	-1.257	-0.943	-0.629	-0.314	0.000	0.314	0.629	0.943	1.257
		Mt	0.00	0.00	0.00	0.00	0.00	0.00	0.00	0.00	0.00
		My	0.00	0.69	1.18	1.47	1.57	1.47	1.18	0.69	0.00
		Mz	0.00	0.00	0.00	0.00	0.00	0.00	0.00	0.00	0.00
	V(0°) H1	N	0.000	0.000	0.000	0.000	0.000	0.000	0.000	0.000	0.000
		Vy	13.688	10.266	6.844	3.422	0.000	-3.422	-6.844	-10.266	-13.687
		Vz	0.000	0.000	0.000	0.000	0.000	0.000	0.000	0.000	0.000
		Mt	0.00	0.00	0.00	0.00	0.00	0.00	0.00	0.00	0.00



Listados

Viga intermedia pórtico lateral A

Fecha: 10/06/15

Esfuerzos en barras, por hipótesis											
Barra	Hipótesis	Esfuerzo	Posiciones en la barra								
			0.000 m	0.625 m	1.250 m	1.875 m	2.500 m	3.125 m	3.750 m	4.375 m	5.000 m
	V(180°) H2	My	0.00	0.00	0.00	0.00	0.00	0.00	0.00	0.00	0.00
		Mz	0.00	-7.49	-12.83	-16.04	-17.11	-16.04	-12.83	-7.49	0.00
		N	0.000	0.000	0.000	0.000	0.000	0.000	0.000	0.000	0.000
		Vy	-6.000	-4.500	-3.000	-1.500	0.000	1.500	3.000	4.500	6.000
		Vz	0.000	0.000	0.000	0.000	0.000	0.000	0.000	0.000	0.000
		Mt	0.00	0.00	0.00	0.00	0.00	0.00	0.00	0.00	0.00
		My	0.00	0.00	0.00	0.00	0.00	0.00	0.00	0.00	0.00
		Mz	0.00	3.28	5.63	7.03	7.50	7.03	5.63	3.28	0.00

2.3.2.1.2.- Combinaciones

Esfuerzos en barras, por combinación													
Barra	Combinación		Esfuerzo	Posiciones en la barra									
	Tipo	Descripción		0.000 m	0.625 m	1.250 m	1.875 m	2.500 m	3.125 m	3.750 m	4.375 m	5.000 m	
N1/N2	Acero laminado	0.8- G	N	0.000	0.000	0.000	0.000	0.000	0.000	0.000	0.000	0.000	0.000
			Vy	0.000	0.000	0.000	0.000	0.000	0.000	0.000	0.000	0.000	0.000
			Vz	-1.006	-0.754	-0.503	-0.251	0.000	0.251	0.503	0.754	1.006	
			Mt	0.00	0.00	0.00	0.00	0.00	0.00	0.00	0.00	0.00	0.00
			My	0.00	0.55	0.94	1.18	1.26	1.18	0.94	0.55	0.00	
			Mz	0.00	0.00	0.00	0.00	0.00	0.00	0.00	0.00	0.00	0.00
		1.35- G	N	0.000	0.000	0.000	0.000	0.000	0.000	0.000	0.000	0.000	0.000
			Vy	0.000	0.000	0.000	0.000	0.000	0.000	0.000	0.000	0.000	0.000
			Vz	-1.697	-1.273	-0.849	-0.424	0.000	0.424	0.849	1.273	1.697	
			Mt	0.00	0.00	0.00	0.00	0.00	0.00	0.00	0.00	0.00	0.00
			My	0.00	0.93	1.59	1.99	2.12	1.99	1.59	0.93	0.00	
			Mz	0.00	0.00	0.00	0.00	0.00	0.00	0.00	0.00	0.00	0.00
		0.8- G+1.5- V(0°)H1	N	0.000	0.000	0.000	0.000	0.000	0.000	0.000	0.000	0.000	0.000
			Vy	20.531	15.398	10.266	5.133	0.000	-5.133	-10.266	-15.398	-20.531	
			Vz	-1.006	-0.754	-0.503	-0.251	0.000	0.251	0.503	0.754	1.006	
			Mt	0.00	0.00	0.00	0.00	0.00	0.00	0.00	0.00	0.00	0.00
			My	0.00	0.55	0.94	1.18	1.26	1.18	0.94	0.55	0.00	
			Mz	0.00	-11.23	-19.25	-24.06	-25.66	-24.06	-19.25	-11.23	0.00	
		1.35- G+1.5- V(0°)H1	N	0.000	0.000	0.000	0.000	0.000	0.000	0.000	0.000	0.000	0.000
			Vy	20.531	15.398	10.266	5.133	0.000	-5.133	-10.266	-15.398	-20.531	
			Vz	-1.697	-1.273	-0.849	-0.424	0.000	0.424	0.849	1.273	1.697	
			Mt	0.00	0.00	0.00	0.00	0.00	0.00	0.00	0.00	0.00	0.00
			My	0.00	0.93	1.59	1.99	2.12	1.99	1.59	0.93	0.00	
			Mz	0.00	-11.23	-19.25	-24.06	-25.66	-24.06	-19.25	-11.23	0.00	
		0.8- G+1.5- V(180°)H2	N	0.000	0.000	0.000	0.000	0.000	0.000	0.000	0.000	0.000	0.000
			Vy	-9.000	-6.750	-4.500	-2.250	0.000	2.250	4.500	6.750	9.000	
			Vz	-1.006	-0.754	-0.503	-0.251	0.000	0.251	0.503	0.754	1.006	
			Mt	0.00	0.00	0.00	0.00	0.00	0.00	0.00	0.00	0.00	0.00
			My	0.00	0.55	0.94	1.18	1.26	1.18	0.94	0.55	0.00	
			Mz	0.00	4.92	8.44	10.55	11.25	10.55	8.44	4.92	0.00	
		1.35- G+1.5- V(180°)H2	N	0.000	0.000	0.000	0.000	0.000	0.000	0.000	0.000	0.000	0.000
			Vy	-9.000	-6.750	-4.500	-2.250	0.000	2.250	4.500	6.750	9.000	
			Vz	-1.697	-1.273	-0.849	-0.424	0.000	0.424	0.849	1.273	1.697	
			Mt	0.00	0.00	0.00	0.00	0.00	0.00	0.00	0.00	0.00	0.00
			My	0.00	0.93	1.59	1.99	2.12	1.99	1.59	0.93	0.00	
			Mz	0.00	4.92	8.44	10.55	11.25	10.55	8.44	4.92	0.00	

2.3.2.1.3.- Envoltentes

Envoltentes de los esfuerzos en barras											
Barra	Tipo de combinación	Esfuerzo	Posiciones en la barra								
			0.000 m	0.625 m	1.250 m	1.875 m	2.500 m	3.125 m	3.750 m	4.375 m	5.000 m
N1/N2	Acero laminado	N _{min}	0.000	0.000	0.000	0.000	0.000	0.000	0.000	0.000	0.000
		N _{max}	0.000	0.000	0.000	0.000	0.000	0.000	0.000	0.000	0.000
		Vy _{min}	-9.000	-6.750	-4.500	-2.250	0.000	-5.133	-10.266	-15.398	-20.531
		Vy _{max}	20.531	15.398	10.266	5.133	0.000	2.250	4.500	6.750	9.000
		Vz _{min}	-1.697	-1.273	-0.849	-0.424	0.000	0.251	0.503	0.754	1.006
		Vz _{max}	-1.006	-0.754	-0.503	-0.251	0.000	0.424	0.849	1.273	1.697
		Mt _{min}	0.00	0.00	0.00	0.00	0.00	0.00	0.00	0.00	0.00
		Mt _{max}	0.00	0.00	0.00	0.00	0.00	0.00	0.00	0.00	0.00
		My _{min}	0.00	0.55	0.94	1.18	1.26	1.18	0.94	0.55	0.00



Listados

Viga intermedia pórtico lateral A

Fecha: 10/06/15

Envolventes de los esfuerzos en barras											
Barra	Tipo de combinación	Esfuerzo	Posiciones en la barra								
			0.000 m	0.625 m	1.250 m	1.875 m	2.500 m	3.125 m	3.750 m	4.375 m	5.000 m
		$M_{y_{máx}}$	0.00	0.93	1.59	1.99	2.12	1.99	1.59	0.93	0.00
		$M_{z_{mín}}$	0.00	-11.23	-19.25	-24.06	-25.66	-24.06	-19.25	-11.23	0.00
		$M_{z_{máx}}$	0.00	4.92	8.44	10.55	11.25	10.55	8.44	4.92	0.00

2.3.2.2.- Resistencia

Referencias:

N: Esfuerzo axil (kN)

Vy: Esfuerzo cortante según el eje local Y de la barra. (kN)

Vz: Esfuerzo cortante según el eje local Z de la barra. (kN)

Mt: Momento torsor (kN·m)

My: Momento flector en el plano 'XZ' (giro de la sección respecto al eje local 'Y' de la barra). (kN·m)

Mz: Momento flector en el plano 'XY' (giro de la sección respecto al eje local 'Z' de la barra). (kN·m)

Los esfuerzos indicados son los correspondientes a la combinación pésima, es decir, aquella que demanda la máxima resistencia de la sección.

Origen de los esfuerzos pésimos:

- G: Sólo gravitatorias
- GV: Gravitatorias + viento
- GS: Gravitatorias + sismo
- GVS: Gravitatorias + viento + sismo

η : Aprovechamiento de la resistencia. La barra cumple con las condiciones de resistencia de la norma si se cumple que $\eta \leq 100$ %.

Comprobación de resistencia a temperatura ambiente										
Barra	η (%)	Posición (m)	Esfuerzos pésimos						Origen	Estado
			N (kN)	Vy (kN)	Vz (kN)	Mt (kN·m)	My (kN·m)	Mz (kN·m)		
N1/N2	44.10	2.500	0.000	0.000	0.000	0.00	2.12	-25.66	GV	Cumple

Comprobación de resistencia en situación de incendio												
R. req. ⁽¹⁾ : R 90												
Barra	η (%)	Posición (m)	Esfuerzos pésimos						Origen	Rev. mín. nec. ⁽²⁾ Pint. intumescente ⁽³⁾ (mm)	Temperatura ⁽⁴⁾ (° C)	Estado
			N (kN)	Vy (kN)	Vz (kN)	Mt (kN·m)	My (kN·m)	Mz (kN·m)				
N1/N2	53.81	2.500	0.000	0.000	0.000	0.00	1.57	-8.55	GV	1.4	682	Cumple
Notas:												
⁽¹⁾ Resistencia requerida (periodo de tiempo, expresado en minutos, durante el cual un elemento estructural debe mantener su capacidad portante).												
⁽²⁾ Espesor de revestimiento mínimo necesario.												
⁽³⁾ Pintura intumescente												
⁽⁴⁾ Temperatura alcanzada por el perfil con el revestimiento indicado, en el tiempo especificado de resistencia al fuego.												

2.3.2.3.- Flechas

Referencias:

Pos.: Valor de la coordenada sobre el eje 'X' local del grupo de flecha en el punto donde se produce el valor pésimo de la flecha.

L.: Distancia entre dos puntos de corte consecutivos de la deformada con la recta que une los nudos extremos del grupo de flecha.



Listados

Viga intermedia pórtico lateral A

Fecha: 10/06/15

Abolladura del alma inducida por el ala comprimida - Temperatura ambiente (Criterio de CYPE Ingenieros, basado en: Eurocódigo 3 EN 1993-1-5: 2006, Artículo 8)

Se debe satisfacer:

$$\frac{h_w}{t_w} \leq k \frac{E}{f_{yf}} \sqrt{\frac{A_w}{A_{fc,ef}}}$$

17.88 ≤ 164.04



Donde:

h_w : Altura del alma.

t_w : Espesor del alma.

A_w : Área del alma.

$A_{fc,ef}$: Área reducida del ala comprimida.

k : Coeficiente que depende de la clase de la sección.

E : Módulo de elasticidad.

f_{yf} : Límite elástico del acero del ala comprimida.

Siendo:

$$f_{yf} = f_y$$

h_w : 152.00 mm

t_w : 8.50 mm

A_w : 12.92 cm²

$A_{fc,ef}$: 25.20 cm²

k : 0.30

E : 210000 MPa

f_{yf} : 275.0 MPa

Resistencia a tracción - Temperatura ambiente (CTE DB SE-A, Artículo 6.2.3)

La comprobación no procede, ya que no hay axil de tracción.

Resistencia a compresión - Temperatura ambiente (CTE DB SE-A, Artículo 6.2.5)

La comprobación no procede, ya que no hay axil de compresión.



Listados

Viga intermedia pórtico lateral A

Fecha: 10/06/15

Resistencia a flexión eje Y - Temperatura ambiente (CTE DB SE-A, Artículo 6.2.6)

Se debe satisfacer:

$$\eta = \frac{M_{Ed}}{M_{c,Rd}} \leq 1$$

h : 0.017



Para flexión positiva:

El esfuerzo solicitante de cálculo pésimo se produce en un punto situado a una distancia de 2.500 m del nudo N1, para la combinación de acciones 1.35·G.

M_{Ed}^+ : Momento flector solicitante de cálculo pésimo.

M_{Ed}^+ : 2.12 kN·m

Para flexión negativa:

M_{Ed}^- : Momento flector solicitante de cálculo pésimo.

M_{Ed}^- : 0.00 kN·m

El momento flector resistente de cálculo $M_{c,Rd}$ viene dado por:

$$M_{c,Rd} = W_{pl,y} \cdot f_{yd}$$

$M_{c,Rd}$: 126.08 kN·m

Donde:

Clase: Clase de la sección, según la capacidad de deformación y de desarrollo de la resistencia plástica de los elementos planos de una sección a flexión simple.

Clase : 1

$W_{pl,y}$: Módulo resistente plástico correspondiente a la fibra con mayor tensión, para las secciones de clase 1 y 2.

$W_{pl,y}$: 481.40 cm³

f_{yd} : Resistencia de cálculo del acero.

f_{yd} : 261.9 MPa

$$f_{yd} = f_y / \gamma_{M0}$$

Siendo:

f_y : Límite elástico. (CTE DB SE-A, Tabla 4.1)

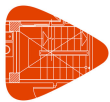
f_y : 275.0 MPa

γ_{M0} : Coeficiente parcial de seguridad del material.

γ_{M0} : 1.05

Resistencia a pandeo lateral: (CTE DB SE-A, Artículo 6.3.3.2)

No procede, dado que las longitudes de pandeo lateral son nulas.



Listados

Viga intermedia pórtico lateral A

Fecha: 10/06/15

Resistencia a flexión eje Z - Temperatura ambiente (CTE DB SE-A, Artículo 6.2.6)

Se debe satisfacer:

$$\eta = \frac{M_{Ed}}{M_{c,Rd}} \leq 1$$

h : 0.424



Para flexión positiva:

El esfuerzo solicitante de cálculo pésimo se produce en un punto situado a una distancia de 2.500 m del nudo N1, para la combinación de acciones 0.8·G+1.5·V(180°)H2.

M_{Ed}^+ : Momento flector solicitante de cálculo pésimo.

M_{Ed}^+ : 11.25 kN·m

Para flexión negativa:

El esfuerzo solicitante de cálculo pésimo se produce en un punto situado a una distancia de 2.500 m del nudo N1, para la combinación de acciones 0.8·G+1.5·V(0°)H1.

M_{Ed}^- : Momento flector solicitante de cálculo pésimo.

M_{Ed}^- : 25.66 kN·m

El momento flector resistente de cálculo $M_{c,Rd}$ viene dado por:

$$M_{c,Rd} = W_{pl,z} \cdot f_{yd}$$

$M_{c,Rd}$: 60.50 kN·m

Donde:

Clase: Clase de la sección, según la capacidad de deformación y de desarrollo de la resistencia plástica de los elementos planos de una sección a flexión simple.

Clase : 1

$W_{pl,z}$: Módulo resistente plástico correspondiente a la fibra con mayor tensión, para las secciones de clase 1 y 2.

$W_{pl,z}$: 231.00 cm³

f_{yd} : Resistencia de cálculo del acero.

f_{yd} : 261.9 MPa

$$f_{yd} = f_y / \gamma_{M0}$$

Siendo:

f_y : Límite elástico. (CTE DB SE-A, Tabla 4.1)

f_y : 275.0 MPa

γ_{M0} : Coeficiente parcial de seguridad del material.

γ_{M0} : 1.05



Listados

Viga intermedia pórtico lateral A

Fecha: 10/06/15

Resistencia a corte Z - Temperatura ambiente (CTE DB SE-A, Artículo 6.2.4)

Se debe satisfacer:

$$\eta = \frac{V_{Ed}}{V_{c,Rd}} \leq 1$$

h : 0.007



El esfuerzo solicitante de cálculo pésimo se produce en el nudo N1, para la combinación de acciones 1.35·G.

V_{Ed} : Esfuerzo cortante solicitante de cálculo pésimo.

V_{Ed} : 1.70 kN

El esfuerzo cortante resistente de cálculo $V_{c,Rd}$ viene dado por:

$$V_{c,Rd} = A_v \cdot \frac{f_{yd}}{\sqrt{3}}$$

$V_{c,Rd}$: 231.35 kN

Donde:

A_v : Área transversal a cortante.

A_v : 15.30 cm²

$$A_v = h \cdot t_w$$

Siendo:

h: Canto de la sección.

h : 180.00 mm

t_w : Espesor del alma.

t_w : 8.50 mm

f_{yd} : Resistencia de cálculo del acero.

f_{yd} : 261.9 MPa

$$f_{yd} = f_y / \gamma_{M0}$$

Siendo:

f_y : Límite elástico. (CTE DB SE-A, Tabla 4.1)

f_y : 275.0 MPa

γ_{M0} : Coeficiente parcial de seguridad del material.

γ_{M0} : 1.05

Abolladura por cortante del alma: (CTE DB SE-A, Artículo 6.3.3.4)

Aunque no se han dispuesto rigidizadores transversales, no es necesario comprobar la resistencia a la abolladura del alma, puesto que se cumple:

$$\frac{d}{t_w} < 70 \cdot \varepsilon$$

17.88 < 64.71

Donde:

l_w : Esbeltez del alma.

l_w : 17.88

$$\lambda_w = \frac{d}{t_w}$$

l_{max} : Esbeltez máxima.

l_{max} : 64.71

$$\lambda_{max} = 70 \cdot \varepsilon$$

e: Factor de reducción.

e : 0.92

$$\varepsilon = \sqrt{\frac{f_{ref}}{f_y}}$$

Siendo:

f_{ref} : Límite elástico de referencia.

f_{ref} : 235.0 MPa

f_y : Límite elástico. (CTE DB SE-A, Tabla 4.1)

f_y : 275.0 MPa



Listados

Viga intermedia pórtico lateral A

Fecha: 10/06/15

Resistencia a corte Y - Temperatura ambiente (CTE DB SE-A, Artículo 6.2.4)

Se debe satisfacer:

$$\eta = \frac{V_{Ed}}{V_{c,Rd}} \leq 1$$

h : 0.026



El esfuerzo solicitante de cálculo pésimo se produce en el nudo N1, para la combinación de acciones 0.8·G + 1.5·V(0°)H1.

V_{Ed} : Esfuerzo cortante solicitante de cálculo pésimo.

V_{Ed} : 20.53 kN

El esfuerzo cortante resistente de cálculo $V_{c,Rd}$ viene dado por:

$$V_{c,Rd} = A_v \cdot \frac{f_{yd}}{\sqrt{3}}$$

$V_{c,Rd}$: 792.04 kN

Donde:

A_v : Área transversal a cortante.

A_v : 52.38 cm²

$$A_v = A - d \cdot t_w$$

Siendo:

A: Área de la sección bruta.

A : 65.30 cm²

d: Altura del alma.

d : 152.00 mm

t_w : Espesor del alma.

t_w : 8.50 mm

f_{yd} : Resistencia de cálculo del acero.

f_{yd} : 261.9 MPa

$$f_{yd} = f_y / \gamma_{M0}$$

Siendo:

f_y : Límite elástico. (CTE DB SE-A, Tabla 4.1)

f_y : 275.0 MPa

γ_{M0} : Coeficiente parcial de seguridad del material.

γ_{M0} : 1.05

Resistencia a momento flector Y y fuerza cortante Z combinados - Temperatura ambiente (CTE DB SE-A, Artículo 6.2.8)

No es necesario reducir la resistencia de cálculo a flexión, ya que el esfuerzo cortante solicitante de cálculo pésimo V_{Ed} no es superior al 50% de la resistencia de cálculo a cortante $V_{c,Rd}$.

$$V_{Ed} \leq \frac{V_{c,Rd}}{2}$$

0.151 ≤ 11.792

Los esfuerzos solicitantes de cálculo pésimos se producen en un punto situado a una distancia de 0.313 m del nudo N1, para la combinación de acciones 1.35·G.

V_{Ed} : Esfuerzo cortante solicitante de cálculo pésimo.

V_{Ed} : 1.49 kN

$V_{c,Rd}$: Esfuerzo cortante resistente de cálculo.

$V_{c,Rd}$: 231.35 kN



Listados

Viga intermedia pórtico lateral A

Fecha: 10/06/15

Resistencia a momento flector Z y fuerza cortante Y combinados - Temperatura ambiente (CTE DB SE-A, Artículo 6.2.8)

No es necesario reducir la resistencia de cálculo a flexión, ya que el esfuerzo cortante solicitante de cálculo pésimo V_{Ed} no es superior al 50% de la resistencia de cálculo a cortante $V_{c,Rd}$.

$$V_{Ed} \leq \frac{V_{c,Rd}}{2}$$

$$1.831 \leq 40.369$$

Los esfuerzos solicitantes de cálculo pésimos se producen en un punto situado a una distancia de 0.313 m del nudo N1, para la combinación de acciones 0.8·G+1.5·V(0°)H1.

V_{Ed} : Esfuerzo cortante solicitante de cálculo pésimo.

$$V_{Ed} : 17.96 \text{ kN}$$

$V_{c,Rd}$: Esfuerzo cortante resistente de cálculo.

$$V_{c,Rd} : 792.04 \text{ kN}$$

Resistencia a flexión y axil combinados - Temperatura ambiente (CTE DB SE-A, Artículo 6.2.8)

Se debe satisfacer:

$$\eta = \frac{N_{c,Ed}}{N_{pl,Rd}} + \frac{M_{y,Ed}}{M_{pl,Rd,y}} + \frac{M_{z,Ed}}{M_{pl,Rd,z}} \leq 1$$

$$h : 0.441$$



$$\eta = \frac{N_{c,Ed}}{\chi_y \cdot A \cdot f_{yd}} + k_y \cdot \frac{C_{m,y} \cdot M_{y,Ed}}{\chi_{LT} \cdot W_{pl,y} \cdot f_{yd}} + \alpha_z \cdot k_z \cdot \frac{C_{m,z} \cdot M_{z,Ed}}{W_{pl,z} \cdot f_{yd}} \leq 1$$

$$h : 0.271$$



$$\eta = \frac{N_{c,Ed}}{\chi_z \cdot A \cdot f_{yd}} + \alpha_y \cdot k_y \cdot \frac{C_{m,y} \cdot M_{y,Ed}}{W_{pl,y} \cdot f_{yd}} + k_z \cdot \frac{C_{m,z} \cdot M_{z,Ed}}{W_{pl,z} \cdot f_{yd}} \leq 1$$

$$h : 0.434$$



Los esfuerzos solicitantes de cálculo pésimos se producen en un punto situado a una distancia de 2.500 m del nudo N1, para la combinación de acciones 1.35·G+1.5·V(0°)H1.

Donde:

$N_{c,Ed}$: Axil de compresión solicitante de cálculo pésimo.

$$N_{c,Ed} : 0.00 \text{ kN}$$

$M_{y,Ed}$, $M_{z,Ed}$: Momentos flectores solicitantes de cálculo pésimos, según los ejes Y y Z, respectivamente.

$$M_{y,Ed}^+ : 2.12 \text{ kN}\cdot\text{m}$$

$$M_{z,Ed}^- : 25.66 \text{ kN}\cdot\text{m}$$

Clase: Clase de la sección, según la capacidad de deformación y de desarrollo de la resistencia plástica de sus elementos planos, para axil y flexión simple.

$$\text{Clase} : 1$$

$N_{pl,Rd}$: Resistencia a compresión de la sección bruta.

$$N_{pl,Rd} : 1710.24 \text{ kN}$$

$M_{pl,Rd,y}$, $M_{pl,Rd,z}$: Resistencia a flexión de la sección bruta en condiciones plásticas, respecto a los ejes Y y Z, respectivamente.

$$M_{pl,Rd,y} : 126.08 \text{ kN}\cdot\text{m}$$

$$M_{pl,Rd,z} : 60.50 \text{ kN}\cdot\text{m}$$

Resistencia a pandeo: (CTE DB SE-A, Artículo 6.3.4.2)

A: Área de la sección bruta.

$$A : 65.30 \text{ cm}^2$$

$W_{pl,y}$, $W_{pl,z}$: Módulos resistentes plásticos correspondientes a la fibra comprimida, alrededor de los ejes Y y Z, respectivamente.

$$W_{pl,y} : 481.40 \text{ cm}^3$$

$$W_{pl,z} : 231.00 \text{ cm}^3$$

f_{yd} : Resistencia de cálculo del acero.

$$f_{yd} : 261.9 \text{ MPa}$$

$$f_{yd} = f_y / \gamma_{M1}$$

Siendo:



Listados

Viga intermedia pórtico lateral A

Fecha: 10/06/15

f_y : Límite elástico. (CTE DB SE-A, Tabla 4.1)	f_y : <u>275.0</u> MPa
γ_{M1} : Coeficiente parcial de seguridad del material.	γ_{M1} : <u>1.05</u>
k_y, k_z : Coeficientes de interacción.	
$k_y = 1 + (\bar{\lambda}_y - 0.2) \cdot \frac{N_{c,Ed}}{\chi_y \cdot N_{c,Rd}}$	k_y : <u>1.00</u>
$k_z = 1 + (2 \cdot \bar{\lambda}_z - 0.6) \cdot \frac{N_{c,Ed}}{\chi_z \cdot N_{c,Rd}}$	k_z : <u>1.00</u>
$C_{m,y}, C_{m,z}$: Factores de momento flector uniforme equivalente.	$C_{m,y}$: <u>1.00</u>
	$C_{m,z}$: <u>1.00</u>
c_y, c_z : Coeficientes de reducción por pandeo, alrededor de los ejes Y y Z, respectivamente.	c_y : <u>0.94</u>
	c_z : <u>0.77</u>
$\bar{\lambda}_y, \bar{\lambda}_z$: Esbelteces reducidas con valores no mayores que 1.00, en relación a los ejes Y y Z, respectivamente.	$\bar{\lambda}_y$: <u>0.38</u>
	$\bar{\lambda}_z$: <u>0.63</u>
a_y, a_z : Factores dependientes de la clase de la sección.	a_y : <u>0.60</u>
	a_z : <u>0.60</u>

Resistencia a flexión, axil y cortante combinados - Temperatura ambiente (CTE DB SE-A, Artículo 6.2.8)

No es necesario reducir las resistencias de cálculo a flexión y a axil, ya que se puede ignorar el efecto de abolladura por esfuerzo cortante y, además, el esfuerzo cortante solicitante de cálculo pésimo V_{Ed} es menor o igual que el 50% del esfuerzo cortante resistente de cálculo $V_{c,Rd}$.

Los esfuerzos solicitantes de cálculo pésimos se producen en un punto situado a una distancia de 0.313 m del nudo N1, para la combinación de acciones 0.8·G+1.5·V(0°)H1.

$$V_{Ed,y} \leq \frac{V_{c,Rd,y}}{2}$$

$$1.831 \leq 40.369$$

Donde:

$V_{Ed,y}$: Esfuerzo cortante solicitante de cálculo pésimo.

$V_{Ed,y}$: 17.96 kN

$V_{c,Rd,y}$: Esfuerzo cortante resistente de cálculo.

$V_{c,Rd,y}$: 792.04 kN

Resistencia a torsión - Temperatura ambiente (CTE DB SE-A, Artículo 6.2.7)

La comprobación no procede, ya que no hay momento torsor.

Resistencia a cortante Z y momento torsor combinados - Temperatura ambiente (CTE DB SE-A, Artículo 6.2.8)

No hay interacción entre momento torsor y esfuerzo cortante para ninguna combinación. Por lo tanto, la comprobación no procede.

Resistencia a cortante Y y momento torsor combinados - Temperatura ambiente (CTE DB SE-A, Artículo 6.2.8)

No hay interacción entre momento torsor y esfuerzo cortante para ninguna combinación. Por lo tanto, la comprobación no procede.



Listados

Viga intermedia pórtico lateral A

Fecha: 10/06/15

Resistencia a tracción - Situación de incendio (CTE DB SE-A, Artículo 6.2.3, y CTE DB SI, Anejo D)

La comprobación no procede, ya que no hay axil de tracción.

Resistencia a compresión - Situación de incendio (CTE DB SE-A, Artículo 6.2.5, y CTE DB SI, Anejo D)

La comprobación no procede, ya que no hay axil de compresión.

Resistencia a flexión eje Y - Situación de incendio (CTE DB SE-A, Artículo 6.2.6, y CTE DB SI, Anejo D)

Se debe satisfacer:

$$\eta = \frac{M_{Ed}}{M_{c,Rd}} \leq 1$$

h : 0.044



Para flexión positiva:

El esfuerzo solicitante de cálculo pésimo se produce en un punto situado a una distancia de 2.500 m del nudo N1, para la combinación de acciones G.

M_{Ed}^+ : Momento flector solicitante de cálculo pésimo.

M_{Ed}^+ : 1.57 kN·m

Para flexión negativa:

M_{Ed}^- : Momento flector solicitante de cálculo pésimo.

M_{Ed}^- : 0.00 kN·m

El momento flector resistente de cálculo $M_{c,Rd}$ viene dado por:

$$M_{c,Rd} = W_{pl,y} \cdot f_{yd}$$

$M_{c,Rd}$: 36.05 kN·m

Donde:

Clase: Clase de la sección, según la capacidad de deformación y de desarrollo de la resistencia plástica de los elementos planos de una sección a flexión simple.

Clase : 1

$W_{pl,y}$: Módulo resistente plástico correspondiente a la fibra con mayor tensión, para las secciones de clase 1 y 2.

$W_{pl,y}$: 481.40 cm³

f_{yd} : Resistencia de cálculo del acero.

f_{yd} : 74.9 MPa

$$f_{yd} = f_{y,\theta} / \gamma_{M,\theta}$$

Siendo:

$f_{y,q}$: Límite elástico reducido para la temperatura que alcanza el perfil.

$f_{y,q}$: 74.9 MPa

$$f_{y,\theta} = f_y \cdot k_{y,\theta}$$

f_y : Límite elástico. (CTE DB SE-A, Tabla 4.1)

f_y : 275.0 MPa

$k_{y,q}$: Factor de reducción del límite elástico para la temperatura que alcanza el perfil.

$k_{y,q}$: 0.27

$g_{M,q}$: Coeficiente parcial de seguridad del material.

$g_{M,q}$: 1.00

Resistencia a pandeo lateral: (CTE DB SE-A, Artículo 6.3.3.2)

No procede, dado que las longitudes de pandeo lateral son nulas.



Listados

Viga intermedia pórtico lateral A

Fecha: 10/06/15

Resistencia a flexión eje Z - Situación de incendio (CTE DB SE-A, Artículo 6.2.6, y CTE DB SI, Anejo D)

Se debe satisfacer:

$$\eta = \frac{M_{Ed}}{M_{c,Rd}} \leq 1$$

h : 0.495



Para flexión positiva:

El esfuerzo solicitante de cálculo pésimo se produce en un punto situado a una distancia de 2.500 m del nudo N1, para la combinación de acciones G+0.5·V(180°)H2.

M_{Ed}^+ : Momento flector solicitante de cálculo pésimo.

M_{Ed}^+ : 3.75 kN·m

Para flexión negativa:

El esfuerzo solicitante de cálculo pésimo se produce en un punto situado a una distancia de 2.500 m del nudo N1, para la combinación de acciones G+0.5·V(0°)H1.

M_{Ed}^- : Momento flector solicitante de cálculo pésimo.

M_{Ed}^- : 8.55 kN·m

El momento flector resistente de cálculo $M_{c,Rd}$ viene dado por:

$$M_{c,Rd} = W_{pl,z} \cdot f_{yd}$$

$M_{c,Rd}$: 17.30 kN·m

Donde:

Clase: Clase de la sección, según la capacidad de deformación y de desarrollo de la resistencia plástica de los elementos planos de una sección a flexión simple.

Clase : 1

$W_{pl,z}$: Módulo resistente plástico correspondiente a la fibra con mayor tensión, para las secciones de clase 1 y 2.

$W_{pl,z}$: 231.00 cm³

f_{yd} : Resistencia de cálculo del acero.

f_{yd} : 74.9 MPa

$$f_{yd} = f_{y,\theta} / \gamma_{M,\theta}$$

Siendo:

$f_{y,q}$: Límite elástico reducido para la temperatura que alcanza el perfil.

$f_{y,q}$: 74.9 MPa

$$f_{y,\theta} = f_y \cdot k_{y,\theta}$$

f_y : Límite elástico. (CTE DB SE-A, Tabla 4.1)

f_y : 275.0 MPa

$k_{y,q}$: Factor de reducción del límite elástico para la temperatura que alcanza el perfil.

$k_{y,q}$: 0.27

$g_{M,q}$: Coeficiente parcial de seguridad del material.

$g_{M,q}$: 1.00



Listados

Viga intermedia pórtico lateral A

Fecha: 10/06/15

Resistencia a corte Z - Situación de incendio (CTE DB SE-A, Artículo 6.2.4, y CTE DB SI, Anejo D)

Se debe satisfacer:

$$\eta = \frac{V_{Ed}}{V_{c,Rd}} \leq 1$$

h : 0.019



El esfuerzo solicitante de cálculo pésimo se produce en el nudo N1, para la combinación de acciones G.

V_{Ed} : Esfuerzo cortante solicitante de cálculo pésimo.

V_{Ed} : 1.26 kN

El esfuerzo cortante resistente de cálculo $V_{c,Rd}$ viene dado por:

$$V_{c,Rd} = A_v \cdot \frac{f_{yd}}{\sqrt{3}}$$

$V_{c,Rd}$: 66.15 kN

Donde:

A_v : Área transversal a cortante.

A_v : 15.30 cm²

$$A_v = h \cdot t_w$$

Siendo:

h: Canto de la sección.

h : 180.00 mm

t_w : Espesor del alma.

t_w : 8.50 mm

f_{yd} : Resistencia de cálculo del acero.

f_{yd} : 74.9 MPa

$$f_{yd} = f_{y,0} / \gamma_{M,0}$$

Siendo:

$f_{y,q}$: Límite elástico reducido para la temperatura que alcanza el perfil.

$f_{y,q}$: 74.9 MPa

$$f_{y,0} = f_y \cdot k_{y,0}$$

f_y : Límite elástico. (CTE DB SE-A, Tabla 4.1)

f_y : 275.0 MPa

$k_{y,q}$: Factor de reducción del límite elástico para la temperatura que alcanza el perfil.

$k_{y,q}$: 0.27

$g_{M,q}$: Coeficiente parcial de seguridad del material.

$g_{M,q}$: 1.00

Abolladura por cortante del alma: (CTE DB SE-A, Artículo 6.3.3.4)

Aunque no se han dispuesto rigidizadores transversales, no es necesario comprobar la resistencia a la abolladura del alma, puesto que se cumple:

$$\frac{d}{t_w} < 70 \cdot \varepsilon$$

17.88 < 64.71

Donde:

l_w : Esbeltez del alma.

l_w : 17.88

$$\lambda_w = \frac{d}{t_w}$$

l_{max} : Esbeltez máxima.

l_{max} : 64.71

$$\lambda_{max} = 70 \cdot \varepsilon$$

e: Factor de reducción.

e : 0.92

$$\varepsilon = \sqrt{\frac{f_{ref}}{f_y}}$$

Siendo:

f_{ref} : Límite elástico de referencia.

f_{ref} : 235.0 MPa



Listados

Viga intermedia pórtico lateral A

Fecha: 10/06/15

f_y : Límite elástico. (CTE DB SE-A, Tabla 4.1)

f_y : 275.0 MPa

Resistencia a corte Y - Situación de incendio (CTE DB SE-A, Artículo 6.2.4, y CTE DB SI, Anejo D)

Se debe satisfacer:

$$\eta = \frac{V_{Ed}}{V_{c,Rd}} \leq 1$$

η : 0.030



El esfuerzo solicitante de cálculo pésimo se produce en el nudo N1, para la combinación de acciones G+0.5·V(0°)H1.

V_{Ed} : Esfuerzo cortante solicitante de cálculo pésimo.

V_{Ed} : 6.84 kN

El esfuerzo cortante resistente de cálculo $V_{c,Rd}$ viene dado por:

$$V_{c,Rd} = A_v \cdot \frac{f_{yd}}{\sqrt{3}}$$

$V_{c,Rd}$: 226.45 kN

Donde:

A_v : Área transversal a cortante.

A_v : 52.38 cm²

$$A_v = A - d \cdot t_w$$

Siendo:

A: Área de la sección bruta.

A : 65.30 cm²

d: Altura del alma.

d : 152.00 mm

t_w : Espesor del alma.

t_w : 8.50 mm

f_{yd} : Resistencia de cálculo del acero.

f_{yd} : 74.9 MPa

$$f_{yd} = f_{y,\theta} / \gamma_{M,\theta}$$

Siendo:

$f_{y,q}$: Límite elástico reducido para la temperatura que alcanza el perfil.

$f_{y,q}$: 74.9 MPa

$$f_{y,\theta} = f_y \cdot k_{y,\theta}$$

f_y : Límite elástico. (CTE DB SE-A, Tabla 4.1)

f_y : 275.0 MPa

$k_{y,q}$: Factor de reducción del límite elástico para la temperatura que alcanza el perfil.

$k_{y,q}$: 0.27

$g_{M,q}$: Coeficiente parcial de seguridad del material.

$g_{M,q}$: 1.00

Resistencia a momento flector Y y fuerza cortante Z combinados - Situación de incendio (CTE DB SE-A, Artículo 6.2.8, y CTE DB SI, Anejo D)

No es necesario reducir la resistencia de cálculo a flexión, ya que el esfuerzo cortante solicitante de cálculo pésimo V_{Ed} no es superior al 50% de la resistencia de cálculo a cortante $V_{c,Rd}$.

$$V_{Ed} \leq \frac{V_{c,Rd}}{2}$$

$V_{Ed} \leq \frac{V_{c,Rd}}{2}$: 0.112 ≤ 3.371

Los esfuerzos solicitantes de cálculo pésimos se producen en un punto situado a una distancia de 0.313 m del nudo N1, para la combinación de acciones G.

V_{Ed} : Esfuerzo cortante solicitante de cálculo pésimo.

V_{Ed} : 1.10 kN

$V_{c,Rd}$: Esfuerzo cortante resistente de cálculo.

$V_{c,Rd}$: 66.15 kN



Listados

Viga intermedia pórtico lateral A

Fecha: 10/06/15

Resistencia a momento flector Z y fuerza cortante Y combinados - Situación de incendio (CTE DB SE-A, Artículo 6.2.8, y CTE DB SI, Anejo D)

No es necesario reducir la resistencia de cálculo a flexión, ya que el esfuerzo cortante solicitante de cálculo pésimo V_{Ed} no es superior al 50% de la resistencia de cálculo a cortante $V_{c,Rd}$.

$$V_{Ed} \leq \frac{V_{c,Rd}}{2}$$

$$0.610 \leq 11.542$$

Los esfuerzos solicitantes de cálculo pésimos se producen en un punto situado a una distancia de 0.313 m del nudo N1, para la combinación de acciones $G+0.5 \cdot V(0^\circ)H1$.

V_{Ed} : Esfuerzo cortante solicitante de cálculo pésimo.

$$V_{Ed} : \underline{5.99} \text{ kN}$$

$V_{c,Rd}$: Esfuerzo cortante resistente de cálculo.

$$V_{c,Rd} : \underline{226.45} \text{ kN}$$

Resistencia a flexión y axil combinados - Situación de incendio (CTE DB SE-A, Artículo 6.2.8, y CTE DB SI, Anejo D)

Se debe satisfacer:

$$\eta = \frac{N_{c,Ed}}{N_{pl,Rd}} + \frac{M_{y,Ed}}{M_{pl,Rd,y}} + \frac{M_{z,Ed}}{M_{pl,Rd,z}} \leq 1$$

$$h : \underline{0.538}$$



$$\eta = \frac{N_{c,Ed}}{\chi_y \cdot A \cdot f_{yd}} + k_y \cdot \frac{c_{m,y} \cdot M_{y,Ed}}{\chi_{LT} \cdot W_{pl,y} \cdot f_{yd}} + \alpha_z \cdot k_z \cdot \frac{c_{m,z} \cdot M_{z,Ed}}{W_{pl,z} \cdot f_{yd}} \leq 1$$

$$h : \underline{0.340}$$



$$\eta = \frac{N_{c,Ed}}{\chi_z \cdot A \cdot f_{yd}} + \alpha_y \cdot k_y \cdot \frac{c_{m,y} \cdot M_{y,Ed}}{W_{pl,y} \cdot f_{yd}} + k_z \cdot \frac{c_{m,z} \cdot M_{z,Ed}}{W_{pl,z} \cdot f_{yd}} \leq 1$$

$$h : \underline{0.521}$$



Los esfuerzos solicitantes de cálculo pésimos se producen en un punto situado a una distancia de 2.500 m del nudo N1, para la combinación de acciones $G+0.5 \cdot V(0^\circ)H1$.

Donde:

$N_{c,Ed}$: Axil de compresión solicitante de cálculo pésimo.

$$N_{c,Ed} : \underline{0.00} \text{ kN}$$

$M_{y,Ed}$, $M_{z,Ed}$: Momentos flectores solicitantes de cálculo pésimos, según los ejes Y y Z, respectivamente.

$$M_{y,Ed} : \underline{1.57} \text{ kN}\cdot\text{m}$$

$$M_{z,Ed} : \underline{8.55} \text{ kN}\cdot\text{m}$$

Clase: Clase de la sección, según la capacidad de deformación y de desarrollo de la resistencia plástica de sus elementos planos, para axil y flexión simple.

$$\text{Clase} : \underline{1}$$

$N_{pl,Rd}$: Resistencia a compresión de la sección bruta.

$$N_{pl,Rd} : \underline{488.98} \text{ kN}$$

$M_{pl,Rd,y}$, $M_{pl,Rd,z}$: Resistencia a flexión de la sección bruta en condiciones plásticas, respecto a los ejes Y y Z, respectivamente.

$$M_{pl,Rd,y} : \underline{36.05} \text{ kN}\cdot\text{m}$$

$$M_{pl,Rd,z} : \underline{17.30} \text{ kN}\cdot\text{m}$$

Resistencia a pandeo: (CTE DB SE-A, Artículo 6.3.4.2)

A: Área de la sección bruta.

$$A : \underline{65.30} \text{ cm}^2$$

$W_{pl,y}$, $W_{pl,z}$: Módulos resistentes plásticos correspondientes a la fibra comprimida, alrededor de los ejes Y y Z, respectivamente.

$$W_{pl,y} : \underline{481.40} \text{ cm}^3$$

$$W_{pl,z} : \underline{231.00} \text{ cm}^3$$

f_{yd} : Resistencia de cálculo del acero.

$$f_{yd} : \underline{74.9} \text{ MPa}$$

$$f_{yd} = f_{y,0} / \gamma_{M,0}$$

Siendo:



Listados

Viga intermedia pórtico lateral A

Fecha: 10/06/15

$f_{y,q}$: Límite elástico reducido para la temperatura que alcanza el perfil.

$f_{y,q}$: 74.9 MPa

$$f_{y,\theta} = f_y \cdot k_{y,\theta}$$

f_y : Límite elástico. (CTE DB SE-A, Tabla 4.1)

f_y : 275.0 MPa

$k_{y,q}$: Factor de reducción del límite elástico para la temperatura que alcanza el perfil.

$k_{y,q}$: 0.27

$g_{M,q}$: Coeficiente parcial de seguridad del material.

$g_{M,q}$: 1.00

k_y, k_z : Coeficientes de interacción.

$$k_y = 1 + (\bar{\lambda}_y - 0.2) \cdot \frac{N_{c,Ed}}{\chi_y \cdot N_{c,Rd}}$$

k_y : 1.00

$$k_z = 1 + (2 \cdot \bar{\lambda}_z - 0.6) \cdot \frac{N_{c,Ed}}{\chi_z \cdot N_{c,Rd}}$$

k_z : 1.00

$C_{m,y}, C_{m,z}$: Factores de momento flector uniforme equivalente.

$C_{m,y}$: 1.00

$C_{m,z}$: 1.00

c_y, c_z : Coeficientes de reducción por pandeo, alrededor de los ejes Y y Z, respectivamente.

c_y : 0.85

c_z : 0.65

$\bar{\lambda}_y, \bar{\lambda}_z$: Esbelteces reducidas con valores no mayores que 1.00, en relación a los ejes Y y Z, respectivamente.

$\bar{\lambda}_y$: 0.49

$\bar{\lambda}_z$: 0.83

a_y, a_z : Factores dependientes de la clase de la sección.

a_y : 0.60

a_z : 0.60

Resistencia a flexión, axil y cortante combinados - Situación de incendio (CTE DB SE-A, Artículo 6.2.8, y CTE DB SI, Anejo D)

No es necesario reducir las resistencias de cálculo a flexión y a axil, ya que se puede ignorar el efecto de abolladura por esfuerzo cortante y, además, el esfuerzo cortante solicitante de cálculo pésimo V_{Ed} es menor o igual que el 50% del esfuerzo cortante resistente de cálculo $V_{c,Rd}$.

Los esfuerzos solicitantes de cálculo pésimos se producen en un punto situado a una distancia de 0.313 m del nudo N1, para la combinación de acciones $G+0.5 \cdot V(0^\circ)H1$.

$$V_{Ed,y} \leq \frac{V_{c,Rd,y}}{2}$$

0.610 ≤ 11.542

Donde:

$V_{Ed,y}$: Esfuerzo cortante solicitante de cálculo pésimo.

$V_{Ed,y}$: 5.99 kN

$V_{c,Rd,y}$: Esfuerzo cortante resistente de cálculo.

$V_{c,Rd,y}$: 226.45 kN

Resistencia a torsión - Situación de incendio (CTE DB SE-A, Artículo 6.2.7, y CTE DB SI, Anejo D)

La comprobación no procede, ya que no hay momento torsor.

Resistencia a cortante Z y momento torsor combinados - Situación de incendio (CTE DB SE-A, Artículo 6.2.8, y CTE DB SI, Anejo D)

No hay interacción entre momento torsor y esfuerzo cortante para ninguna combinación. Por lo tanto, la comprobación no procede.



Listados

Viga intermedia pórtico lateral A

Fecha: 10/06/15

Resistencia a cortante Y y momento torsor combinados - Situación de incendio (CTE DB SE-A, Artículo 6.2.8, y CTE DB SI, Anejo D)

No hay interacción entre momento torsor y esfuerzo cortante para ninguna combinación. Por lo tanto, la comprobación no procede.



Listados

Viga intermedia pórtico lateral A

Fecha: 10/06/15

2.3.2.5.- Comprobaciones E.L.U. (Resumido)

Barra	COMPROBACIONES (CTE DB SE-A) - TEMPERATURA AMBIENTE													Estado		
	$\bar{\lambda}$	λ_w	N _t	N _c	M _y	M _z	V _z	V _y	M _y V _z	M _z V _y	NM _y M _z	NM _y M _z V _y V _z	M _t		M _y V _z	M _z V _y
N1/N2	N.P. ⁽¹⁾	x: 0.313 m $\lambda_w \leq \lambda_{w,max}$	N _{Ed} = 0.00 N.P. ⁽²⁾	N _{Ed} = 0.00 N.P. ⁽³⁾	x: 2.5 m $\eta = 1.7$	x: 2.5 m $\eta = 42.4$	x: 0 m $\eta = 0.7$	x: 0 m $\eta = 2.6$	x: 0.313 m $\eta < 0.1$	x: 0.313 m $\eta < 0.1$	x: 2.5 m $\eta = 44.1$	x: 0.313 m $\eta < 0.1$	M _{Ed} = 0.00 N.P. ⁽⁴⁾	N.P. ⁽⁵⁾	N.P. ⁽⁵⁾	CUMPLE h = 44.1
Notación:																
I: Limitación de esbeltez I _w : Abolladura del alma inducida por el ala comprimida N: Resistencia a tracción N _c : Resistencia a compresión M _y : Resistencia a flexión eje Y M _z : Resistencia a flexión eje Z V _z : Resistencia a corte Z V _y : Resistencia a corte Y M _y V _z : Resistencia a momento flector Y y fuerza cortante Z combinados M _z V _y : Resistencia a momento flector Z y fuerza cortante Y combinados NM _y M _z : Resistencia a flexión y axil combinados NM _y M _z V _y V _z : Resistencia a flexión, axil y cortante combinados M _t : Resistencia a torsión M _y V _z : Resistencia a cortante Z y momento torsor combinados M _z V _y : Resistencia a cortante Y y momento torsor combinados x: Distancia al origen de la barra h: Coeficiente de aprovechamiento (%) N.P.: No procede																
Comprobaciones que no proceden (N.P.):																
⁽¹⁾ La comprobación no procede, ya que no hay axil de compresión ni de tracción.																
⁽²⁾ La comprobación no procede, ya que no hay axil de tracción.																
⁽³⁾ La comprobación no procede, ya que no hay axil de compresión.																
⁽⁴⁾ La comprobación no procede, ya que no hay momento torsor.																
⁽⁵⁾ No hay interacción entre momento torsor y esfuerzo cortante para ninguna combinación. Por lo tanto, la comprobación no procede.																

Barra	COMPROBACIONES (CTE DB SE-A) - SITUACIÓN DE INCENDIO													Estado
	N_t	N_c	M_y	M_z	V_z	V_y	$M_y V_z$	$M_z V_y$	$NM_y M_z$	$NM_y M_z V_y V_z$	M_t	$M_y V_z$	$M_z V_y$	
N1/N2	$N_{Ed} = 0.00$ N.P. ⁽¹⁾	$N_{Ed} = 0.00$ N.P. ⁽²⁾	x: 2.5 m $\eta = 4.4$	x: 2.5 m $\eta = 49.5$	x: 0 m $\eta = 1.9$	x: 0 m $\eta = 3.0$	x: 0.313 m $\eta < 0.1$	x: 0.313 m $\eta < 0.1$	x: 2.5 m $\eta = 53.8$	x: 0.313 m $\eta < 0.1$	$M_{Ed} = 0.00$ N.P. ⁽³⁾	N.P. ⁽⁴⁾	N.P. ⁽⁴⁾	CUMPLE h = 53.8
Notación: N: Resistencia a tracción N _c : Resistencia a compresión M _y : Resistencia a flexión eje Y M _z : Resistencia a flexión eje Z V _z : Resistencia a corte Z V _y : Resistencia a corte Y M _y V _z : Resistencia a momento flector Y y fuerza cortante Z combinados M _z V _y : Resistencia a momento flector Z y fuerza cortante Y combinados NM _y M _z : Resistencia a flexión y axil combinados NM _y M _z V _y V _z : Resistencia a flexión, axil y cortante combinados M _t : Resistencia a torsión M _y V _z : Resistencia a cortante Z y momento torsor combinados M _z V _y : Resistencia a cortante Y y momento torsor combinados x: Distancia al origen de la barra h: Coeficiente de aprovechamiento (%) N.P.: No procede														
Comprobaciones que no proceden (N.P.): ⁽¹⁾ La comprobación no procede, ya que no hay axil de tracción. ⁽²⁾ La comprobación no procede, ya que no hay axil de compresión. ⁽³⁾ La comprobación no procede, ya que no hay momento torsor. ⁽⁴⁾ No hay interacción entre momento torsor y esfuerzo cortante para ninguna combinación. Por lo tanto, la comprobación no procede.														